

## BAB V

### PENGUJIAN DAN ANALISIS

Pengujian perlu dilakukan setelah beban dan modul ELC selesai dirancang. Pengujian yang dilakukan menjadi beberapa tahapan, yaitu pengujian pembebanan generator dengan beban utama (*main load*), pengujian rangkaian *power line clock*, serta pengujian pembebanan generator dengan ELC untuk beban komplemen yang bersifat resistif.

#### 5.1 Pengujian Pembebanan Generator Sinkron Dengan Beban Utama

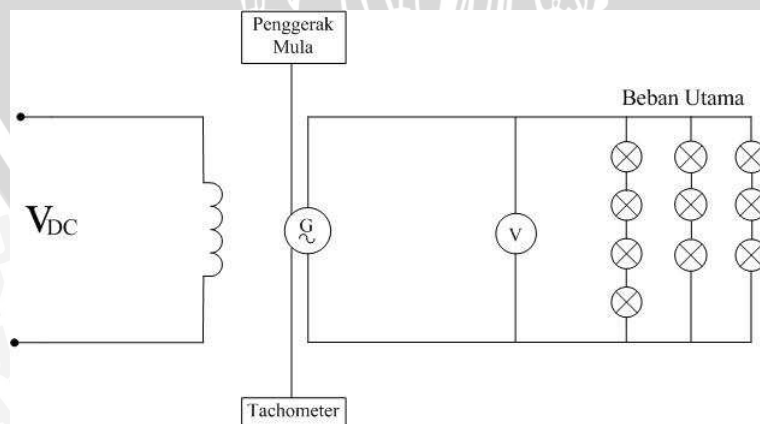
Pengujian pembebanan generator sinkron tanpa ELC bertujuan untuk mengetahui pengaruh perubahan beban utama terhadap putaran dan tegangan generator. Ini menggambarkan kondisi PLTMH yang belum menggunakan ELC. Ada dua macam pengujian, yaitu pembebanan generator dengan beban resistif berupa lampu yang dayanya dinaikkan dari nol hingga 1000 W serta diturunkan dari 1000 W hingga tanpa beban.

Peralatan yang digunakan dalam pengujian ini adalah:

1. Generator sinkron 1 fasa merek Hupeh 2 kW
2. Lampu pijar 100 W (sebanyak 10 buah dirangkai paralel)
3. *Voltage Regulator* DC merek Protek
4. *Tachometer* merek FUJIKOGYO tipe 024276
5. Voltmeter merek KAISE model SK5000B

Prosedur pengujian generator sinkron tanpa ELC sebagai berikut:

1. Menghubungkan peralatan-peralatan ditunjukkan dalam Gambar 5.1.



Gambar 5.1 Diagram blok rangkaian pengujian pembebanan generator sinkron dengan beban utama

2. Menambah putaran generator hingga putaran nominalnya (1500 rpm)

3. Menaikkan tegangan penguatan medan hingga tegangan keluaran generator mencapai 220 V
4. Menyalakan lampu satu demi satu dengan kenaikan daya sebesar 100 W hingga daya totalnya 1000 W
5. Mencatat penurunan tegangan dan putaran generator
6. Setelah selesai, maka tegangan penguatan medan hingga keluaran generator kembali ke 220 V
7. Menambah putaran generator hingga kembali ke 1500 rpm
8. Mematikan lampu satu demi satu dengan penurunan daya sebesar 100 W hingga semua lampu mati
9. Mencatat kenaikan tegangan dan putaran generator.

Data hasil pengujian generator sinkron tanpa ELC sebagai berikut:

1. Dengan kondisi awal tegangan generator 220 V, putaran generator 1500 rpm, tegangan penguatan medan 29 V, daya beban utama 0 W, maka pengaruh kenaikan daya beban utama tiap 100 W ditunjukkan dalam Tabel 5.1.

Tabel 5.1 Pengaruh kenaikan daya beban utama

| Daya Beban Utama<br>(W) | Tegangan generator<br>(V) | Putaran Generator<br>(rpm) |
|-------------------------|---------------------------|----------------------------|
| 0                       | 220                       | 1520                       |
| 100                     | 218                       | 1480                       |
| 200                     | 215                       | 1505                       |
| 300                     | 210                       | 1450                       |
| 400                     | 205                       | 1450                       |
| 500                     | 200                       | 1420                       |
| 600                     | 195                       | 1400                       |
| 700                     | 190                       | 1430                       |
| 800                     | 185                       | 1400                       |
| 900                     | 180                       | 1390                       |
| 1000                    | 175                       | 1450                       |

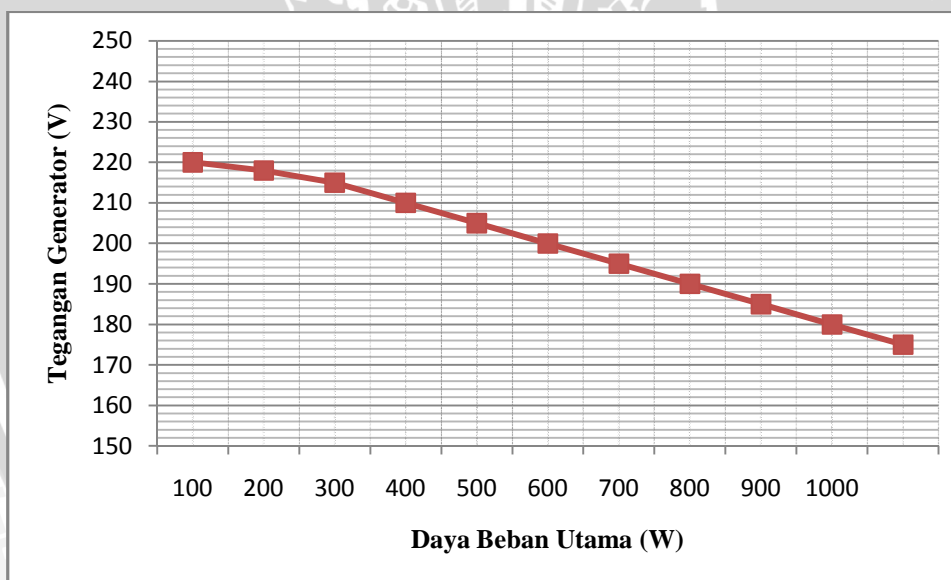
2. Dengan kondisi awal tegangan generator 220 V, putaran generator 1500 rpm, tegangan penguatan medan 29 V, daya beban utama 1000 W, maka pengaruh kenaikan daya beban utama tiap 100 W ditunjukkan Tabel 5.2.

Tabel 5.2 Pengaruh penurunan daya beban utama

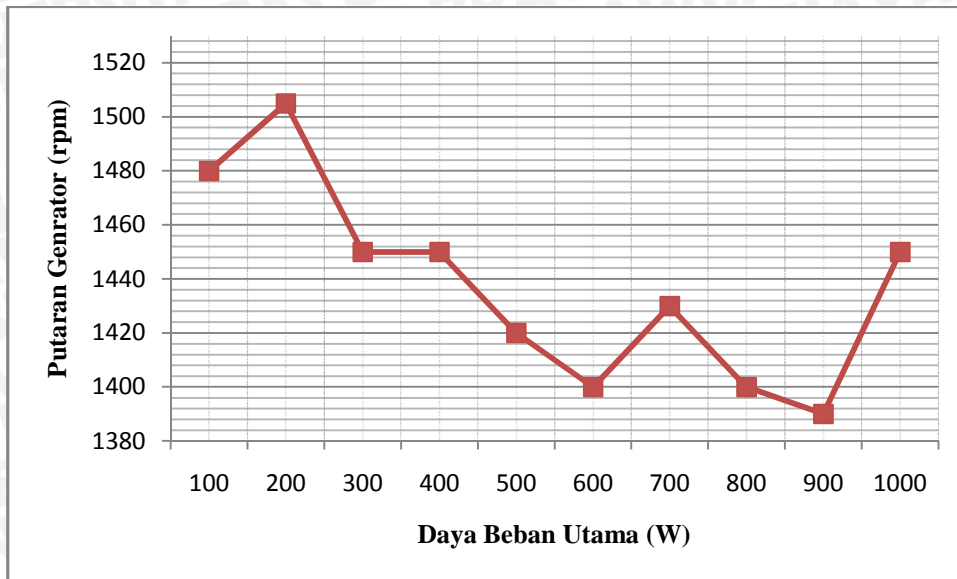
| Daya Beban Utama<br>(W) | Tegangan generator<br>(V) | Putaran Generator<br>(rpm) |
|-------------------------|---------------------------|----------------------------|
| 1000                    | 220                       | 1500                       |
| 900                     | 225                       | 1520                       |
| 800                     | 229                       | 1531                       |
| 700                     | 230                       | 1541                       |
| 600                     | 235                       | 1530                       |
| 500                     | 240                       | 1540                       |
| 400                     | 245                       | 1520                       |
| 300                     | 250                       | 1537                       |
| 200                     | 251                       | 1540                       |
| 100                     | 255                       | 1560                       |
| 0                       | 260                       | 1589                       |

Berdasarkan data hasil pengujian, maka dapat disimpulkan bahwa:

1. Kenaikan daya beban utama sebesar 100 W menyebabkan penurunan tegangan generator dengan nilai maksimal sebesar V dan penurunan putaran generator maksimal sebesar rpm.

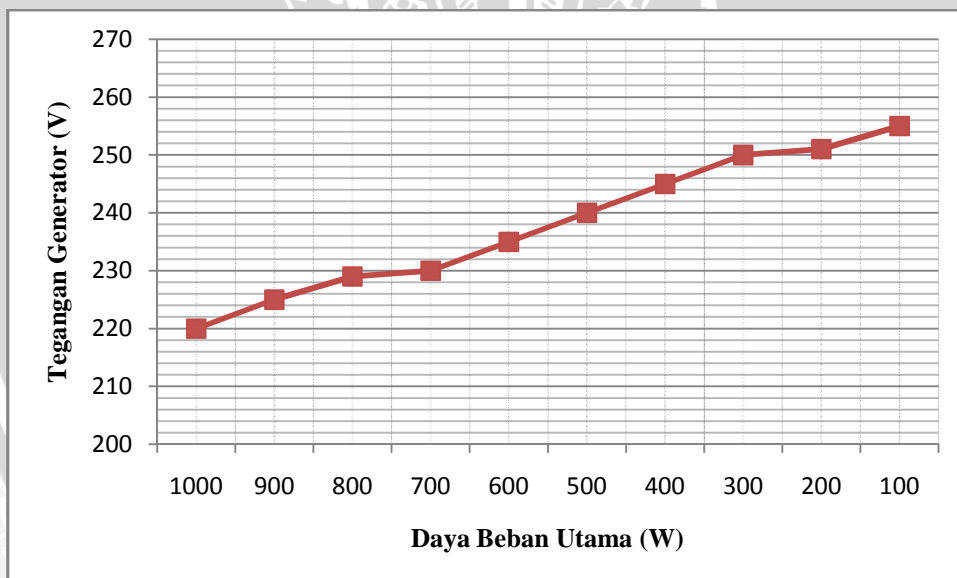


Gambar 5.2 Grafik pengaruh kenaikan daya beban utama terhadap tegangan generator

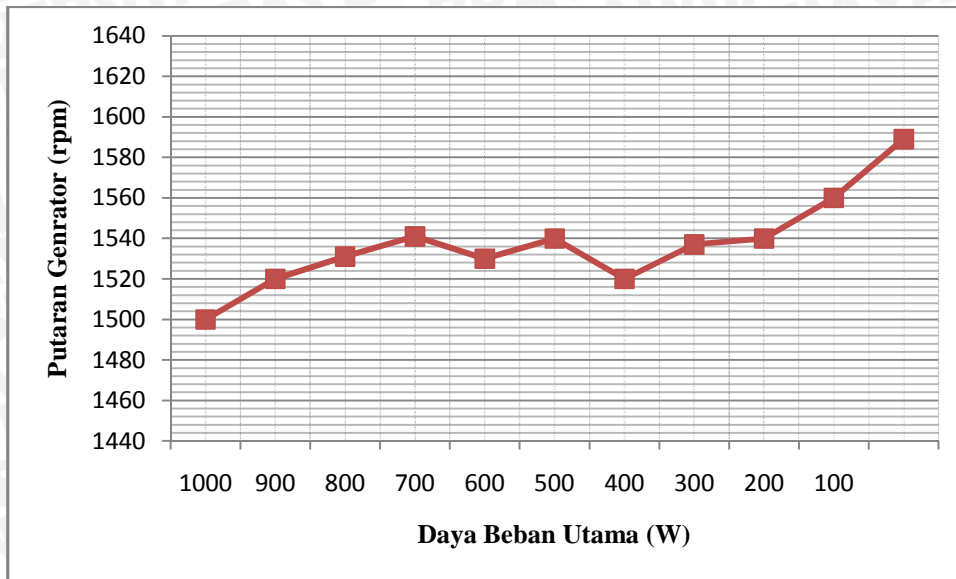


Gambar 5.3 Grafik pengaruh kenaikan daya beban utama terhadap putaran generator

- Penurunan daya beban utama sebesar 100 W menyebabkan kenaikan tegangan generator dengan nilai maksimal sebesar V dan kenaikan putaran generator maksimal sebesar rpm.



Gambar 5.4 Grafik pengaruh penurunan daya beban utama terhadap tegangan generator



Gambar 5.5 Grafik pengaruh penurunan daya beban utama terhadap putaran generator

## 5.2 Pengujian Rangkaian Power Line Clock

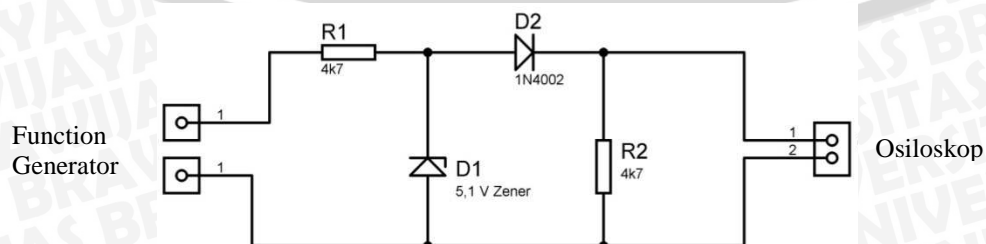
Tujuan pengujian rangkaian power line clock adalah untuk mendeteksi frekuensi beban yang digunakan mikrokontroler untuk mengetahui nilai frekuensi saai itu.

Peralatan yang digunakan dalam pengujian ini adalah:

1. *Function Generator*
2. *Oscilloscope* Tektronik TD-2002

Dalam pengujian blok rangkaian *power line clock* pendeteksi frekuensi beban untuk pemicuan TRIAC, prosedur pengujiannya adalah:

1. Membuat rangkain seperti ditunjukkan dalam Gambar 5.6.
2. Menghubungkan keluaran *function generator* ke input rangkaian *power line clock*.
3. Menghubungkan *probe 1 oscilloscope* ke terminal keluaran rangkaian *power line clock* dan *ground*.
4. Atur frekuensi keluaran *function generator* hingga nilai frekuensi mulai 20 - 70 Hz.



Gambar 5.6 Pengujian rangkaian *power line clock*

Data hasil pengujian rangkaian *power line clock* untuk frekuensi beban utama sebagai berikut:

1. Tegangan dalam keluaran rangkaian *power line clock* ditunjukkan Tabel 5.3.

Tabel 5.3 Keluaran pengujian rangkaian *power line clock*

| Tegangan Input (V) | Frekuensi Input (Hz) | Tegangan Output (V) | Frekuensi Output (Hz) |
|--------------------|----------------------|---------------------|-----------------------|
| 1,76               | 20,58                | 1,76                | 20,58                 |
| 1,76               | 30,01                | 1,76                | 30,01                 |
| 1,76               | 40,13                | 1,76                | 40,13                 |
| 1,76               | 50,20                | 1,76                | 50,20                 |
| 1,76               | 60,24                | 1,76                | 60,24                 |
| 1,76               | 70,03                | 1,76                | 70,03                 |

2. Contoh bentuk sinyal keluaran rangkaian *power line clock* sebagai masukan mikrokontroler ditunjukkan dalam Gambar 5.7.



Gambar 5.7 Bentuk keluaran sensor saat frekuensi 50 Hz

Hasil pengujian menunjukkan bahwa tegangan dan frekuensi keluaran rangkaian *power line clock* mengikuti bentuk gelombang dan frekuensi masukannya. Frekuensi keluaran rangkaian *power line clock* dengan nilai yang dimisalkan 20 Hz sampai 70 Hz ini dapat dijadikan masukan mikrokontroler sebagai representasi nilai frekuensi yang ada di beban utama. Dari Tabel 5.4 dapat dilihat bahwa perubahan frekuensi keluaran rangkaian dapat mengikuti perubahan masukannya. Pengujian tersebut menunjukkan bahwa rangkaian *power line clock* mampu bekerja sesuai tujuan dan fungsinya sebagai pendeteksi frekuensi sekaligus sebagai penyesuai tegangan sebagai *input* ke mikrokontroler.

### 5.3 Pengujian Pembebanan Generator dengan ELC untuk Beban Komplemen Resistif

Mengacu dalam Gambar 4.1 (perubahan daya beban utama yang telah dirancang), maka nilai-nilai untuk pengujian diperoleh dengan melakukan perubahan frekuensi dalam beban utama sesuai nilai – nilai dalam fluktuasi tersebut seperti ditunjukkan Tabel 5.5.

Tabel 5.4 Tabulasi pemakaian beban untuk pengujian

| Parameter Pemakaian Beban            | Nilai              |
|--------------------------------------|--------------------|
| daya beban utama (watt)              | 1000               |
| daya beban komplemen (watt)          | 300; 300; 200; 200 |
| tegangan (V)                         | 220                |
| Frekuensi beban komplemen total (Hz) | 50                 |

Daya maksimum beban utama mempunyai nilai yang hampir sama dengan daya total beban komplemen. Hal ini bertujuan untuk menjaga keseimbangan pembebanan generator. Melalui perlakuan perubahan daya beban utama, maka didapatkan nilai frekuensi dalam beban utama seperti ditunjukkan Tabel 5.5.

Tabel 5.5 Fluktuasi frekuensi beban utama

| Pengujian ke- | Daya Beban Utama (W) | Frekuensi Beban Utama (Hz) |
|---------------|----------------------|----------------------------|
| 1             | 1000                 | 49,3                       |
| 2             | 900                  | 49,4                       |
| 3             | 800                  | 49,6                       |
| 4             | 700                  | 49,8                       |
| 5             | 600                  | 50                         |
| 6             | 500                  | 50,1                       |
| 7             | 400                  | 50,2                       |
| 8             | 300                  | 50,6                       |
| 9             | 200                  | 51                         |
| 10            | 100                  | 51,4                       |
| 11            | 0                    | 51,8                       |

Tujuan dari pengujian pembebanan generator sinkron dengan ELC antara lain:

1. Mengetahui kinerja keseluruhan sistem yang telah dirancang sebelumnya.
2. Menguji keandalan alat yang telah dirancang dengan mengubah – ubah kondisi beban utama generator sesuai durasi dalam karakteristik beban harian.

3. Membandingkan hasil pengukuran antara metode tanpa ELC dengan metode ELC untuk tiap data pengujian.
4. Mengetahui nilai fluktuasi putaran, frekuensi, dan tegangan untuk tiap pengujian.

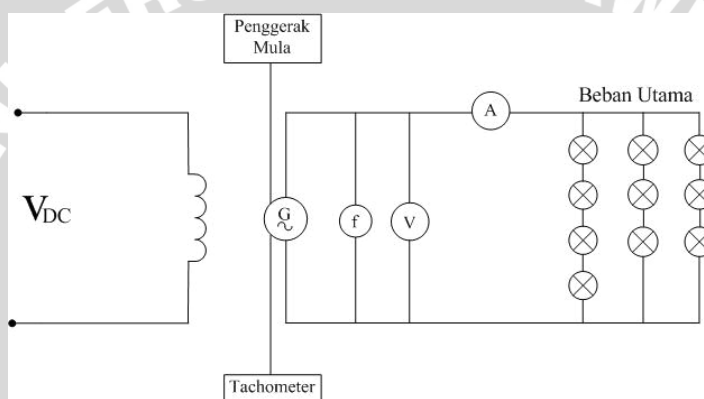
Peralatan yang digunakan dalam pengujian ini adalah:

1. Modul *Electronic Load Controller* yang terdiri dari beberapa komponen utama seperti:
  - a. Rangkaian catu mikrokontroler
  - b. Mikrokontroler ATmega16
  - c. Rangkaian *Power Line Clock*
  - d. TRIAC BTA12-600B
  - e. *Optocoupler* MOC3021
2. Generator sinkron 1 fasa merek Hupeh 2 kW
3. *Voltage Regulator* DC Protek
4. Voltmeter AC merek KAISE model SK5000B
5. Amperemeter AC jenis Digital Clampmeter merek TENMARS tipe TM-1017
6. Frekuensimeter merek AEG
7. *Tachometer* merek FUJIKOJYO tipe 024276
8. Sepuluh lampu pijar 100 watt sebagai beban utama
9. Sepuluh lampu pijar 100 watt sebagai beban komplemen

Dalam pengujian pembebanan generator sinkron, prosedur pengujiannya adalah:

1. Menyusun rangkaian pengujian seperti blok diagram yang ditunjukkan dalam Gambar 5.10 untuk pengujian pembebanan generator sinkron metode **tanpa ELC** dan Gambar 5.11 untuk pengujian **metode ELC**.
2. Mengukur arus keluaran generator sinkron dengan menggunakan *clampmeter*.
3. Pengujian metode tanpa ELC dilakukan terlebih dahulu, dengan langkah pengujian:
  - a. Memberikan catu dalam motor induksi penggerak generator dengan sumber satu fasa
  - b. Atur putaran generator melalui pengaturan kopling magnetik hingga putaran generator sinkron berada dalam posisi putaran sinkron yaitu 1500 rpm

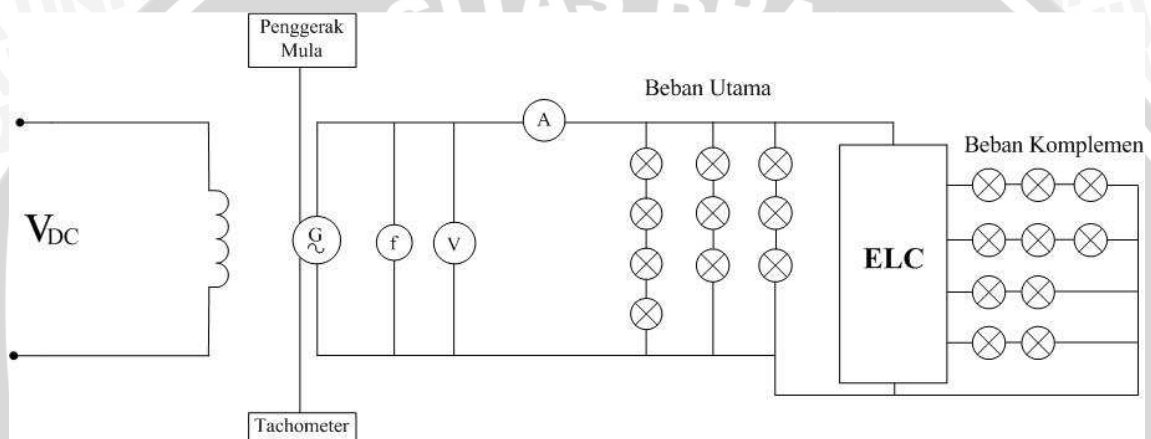
- c. Menghubungkan beban utama (10 buah lampu pijar 100 W) dalam keluaran generator
- d. Mengatur sumber tegangan DC dan amati hingga keadaan mantap tegangan nominal  $V = 220$  volt dan frekuensi  $f = 50$  Hz
- e. Generator dibebani lampu dengan mempertahankan frekuensi bernilai 50 Hz dan generator tetap dalam keadaan mantap
- f. Menyalakan dan mematikan lampu pijar untuk mendapatkan pemakaian daya sesuai nilai – nilai beban utama (Gambar 4.1) lalu mengukur nilai arus menggunakan *clampmeter*
- g. Mencatat nilai putaran ( $n$ ), frekuensi ( $f$ ) dan tegangan ( $V$ ) dalam setiap kondisi arus beban.



Gambar 5.8 Diagram Blok rangkaian pengujian pembebanan generator sinkron tanpa ELC

4. Pengujian selanjutnya menggunakan modul ELC, dengan langkah pengujian:
  - a. Mencatu motor penggerak dengan sumber satu fasa
  - b. Mengatur putaran melalui pengaturan kopling magnetik hingga putaran generator sinkron berada dalam posisi putaran sinkron yaitu 1500 rpm
  - c. Menghubungkan beban utama (10 buah lampu pijar 100 W) dalam keluaran generator.
  - d. Mengatur sumber tegangan DC dan amati hingga keadaan mantap tegangan nominal  $V = 220$  volt dan frekuensi  $f = 50$  Hz
  - e. Generator dibebani lampu hingga frekuensi beban bernilai 50 Hz dan generator tetap dalam keadaan mantap

- f. Menghubungkan modul ELC dalam keluaran generator (modul ELC telah terhubung pula dengan beban komponen)
- g. Menyalakan dan mematikan lampu pijar untuk mendapatkan pemakaian daya sesuai fluktuasi beban utama (Gambar 4.1) lalu mengukur nilai frekuensi dengan frekuensimeter.
- h. Mengamati perubahan yang terjadi secara otomatis dalam beban komplemen yang telah ditentukan dalam program mikrokontroler
- i. Mencatat nilai putaran( $n$ ), frekuensi( $f$ ), dan tegangan( $V$ ) dalam setiap kondisi arus beban.



Gambar 5.9 Diagram blok rangkaian pengujian pembebanan generator sinkron dengan ELC

Pengujian keseluruhan sistem diawali tanpa penggunaan ELC dengan data hasil, pengukuran dapat dilihat dalam Tabel 5.6.

Tabel 5.6 Hasil pengujian pembebanan generator sinkron tanpa ELC

| Daya Beban Utama (W) | Arus Beban Utama (A) | Putaran (rpm) | Frekuensi (Hz) | Tegangan Generator (V) |
|----------------------|----------------------|---------------|----------------|------------------------|
| 1000                 | 4,32                 | 1470          | 50             | 220                    |
| 900                  | 3,91                 | 1450          | 50,4           | 230                    |
| 800                  | 3,53                 | 1490          | 50,6           | 230                    |
| 700                  | 3,14                 | 1510          | 51             | 235                    |
| 600                  | 2,72                 | 1430          | 51,2           | 240                    |
| 500                  | 2,28                 | 1435          | 51,4           | 240                    |
| 400                  | 1,84                 | 1490          | 52             | 245                    |
| 300                  | 1,39                 | 1530          | 52,4           | 250                    |
| 200                  | 0,92                 | 1515          | 52,6           | 253                    |
| 100                  | 0,45                 | 1510          | 53,2           | 255                    |

Sedangkan untuk hasil pengujian pembebanan generator sinkron dengan menggunakan ELC ditunjukkan dalam Tabel 5.7.

Tabel 5.7 Hasil pengujian pembebanan generator sinkron dengan ELC

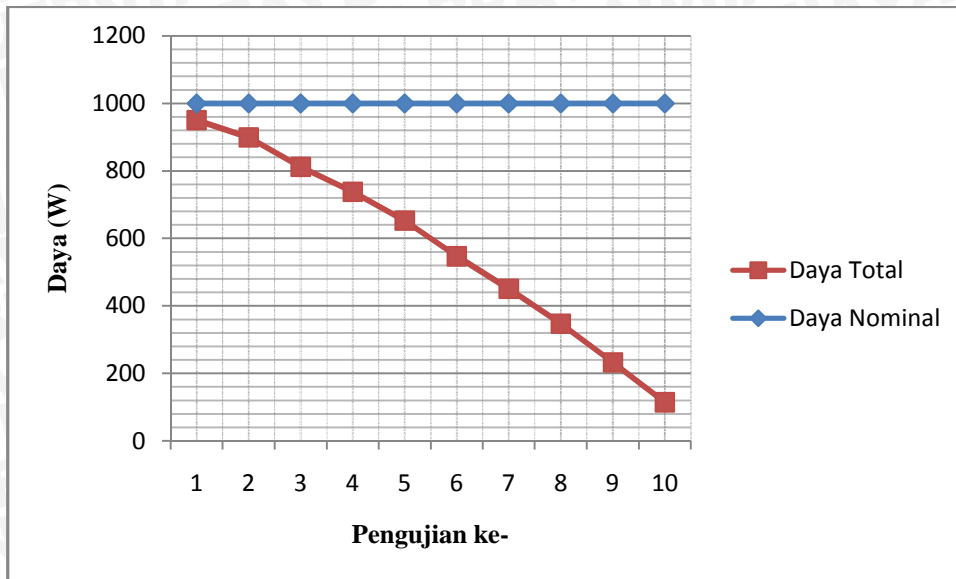
| Daya<br>Beban<br>Utama<br>(W) | Arus<br>Beban<br>Utama<br>(A) | Putaran<br>(rpm) | Tegangan<br>Generator<br>(V) | Frekuensi<br>(Hz) |
|-------------------------------|-------------------------------|------------------|------------------------------|-------------------|
| 1000                          | 4,25                          | 1500             | 220                          | 50.4              |
| 900                           | 3,81                          | 1520             | 219                          | 50.5              |
| 800                           | 3,43                          | 1515             | 218                          | 50.6              |
| 700                           | 3,04                          | 1510             | 217                          | 50.6              |
| 600                           | 2,62                          | 1525             | 218                          | 50.5              |
| 500                           | 2,18                          | 1515             | 220                          | 50.8              |
| 400                           | 1,74                          | 1525             | 218                          | 50.7              |
| 300                           | 1,29                          | 1535             | 217                          | 50.6              |
| 200                           | 0,82                          | 1520             | 218                          | 50.6              |
| 100                           | 0,35                          | 1520             | 219                          | 50.4              |

Berdasarkan data hasil pengujian pembebanan generator sinkron yang ditunjukkan dalam Tabel 5.7 dan Tabel 5.8 terlihat bahwa terjadi perbedaan nilai parameter putaran( $n$ ), frekuensi( $f$ ), dan tegangan ( $V$ ) dalam pengujian tanpa ELC dengan pengujian menggunakan ELC. Dalam pengujian tanpa ELC nilai parameter tersebut melebihi nilai nominalnya, sedangkan dalam metode ELC nilai parameter tersebut dapat terjaga dalam kisaran nilai nominalnya.

Pemakaian daya oleh beban utama saat ELC belum digunakan ditunjukkan dalam Tabel 5.8 (dengan asumsi  $\cos \phi = 1$ , karena beban resistif).

Tabel 5.8 Nilai daya beban total generator sinkron tanpa penggunaan ELC

| Pengujian ke- | Daya Nominal Beban<br>Utama (W) | Daya Beban Utama Hasil<br>Pengukuran (W) |
|---------------|---------------------------------|--|
| 1             | 1000                            | 950,4                                    |
| 2             | 900                             | 899,3                                    |
| 3             | 800                             | 811,9                                    |
| 4             | 700                             | 737,9                                    |
| 5             | 600                             | 652,8                                    |
| 6             | 500                             | 547,2                                    |
| 7             | 400                             | 450,8                                    |
| 8             | 300                             | 347,5                                    |
| 9             | 200                             | 232,8                                    |
| 10            | 100                             | 114,8                                    |

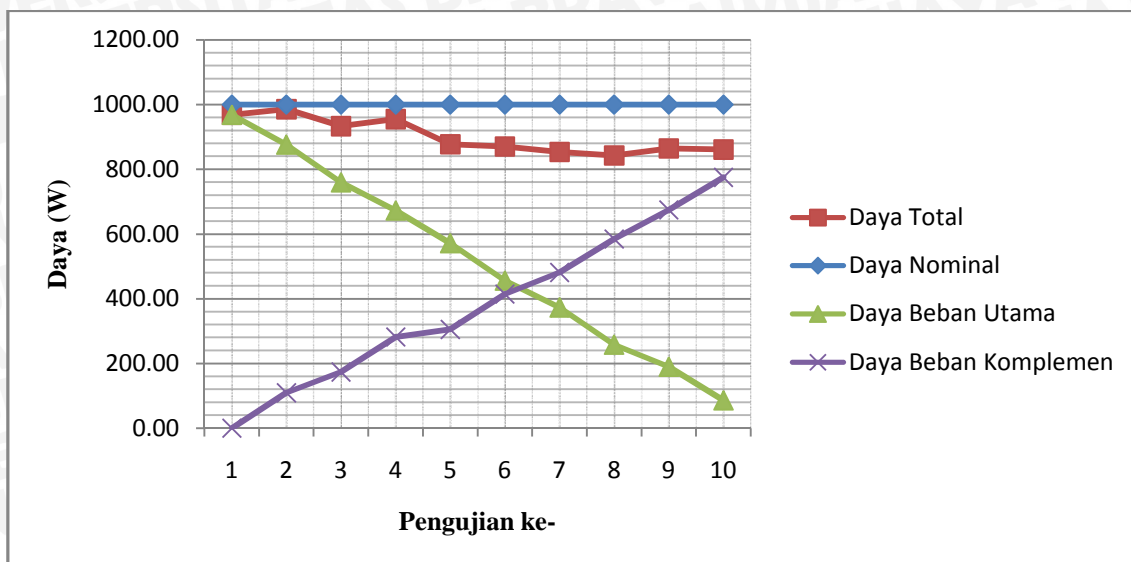


Gambar 5.10 Fluktuasi daya beban total dalam pengujian tanpa ELC

Sedangkan pemakaian daya saat ELC digunakan ditunjukkan dalam Tabel 5.9 (asumsi  $\cos \phi = 1$  karena beban resistif).

Tabel 5.9 Nilai daya beban total pembebanan generator sinkron dengan penggunaan ELC

| Pengujian ke- | Daya Nominal Beban Utama (W) | Daya Total Beban Utama dan Komplemen (W) | Daya Beban Komplemen (W) | Daya Beban Utama (W) |
|---------------|------------------------------|--|--------------------------|----------------------|
| 1             | 1000                         | 968,00                                   | 0,00                     | 968,00               |
| 2             | 900                          | 985,50                                   | 109,50                   | 876,00               |
| 3             | 800                          | 933,10                                   | 173,60                   | 759,50               |
| 4             | 700                          | 954,80                                   | 282,10                   | 672,70               |
| 5             | 600                          | 877,00                                   | 305,00                   | 572,00               |
| 6             | 500                          | 870,20                                   | 414,50                   | 455,70               |
| 7             | 400                          | 853,50                                   | 481,20                   | 372,30               |
| 8             | 300                          | 842,50                                   | 584,50                   | 258,00               |
| 9             | 200                          | 864,40                                   | 674,50                   | 189,90               |
| 10            | 100                          | 861,00                                   | 775,00                   | 86,00                |

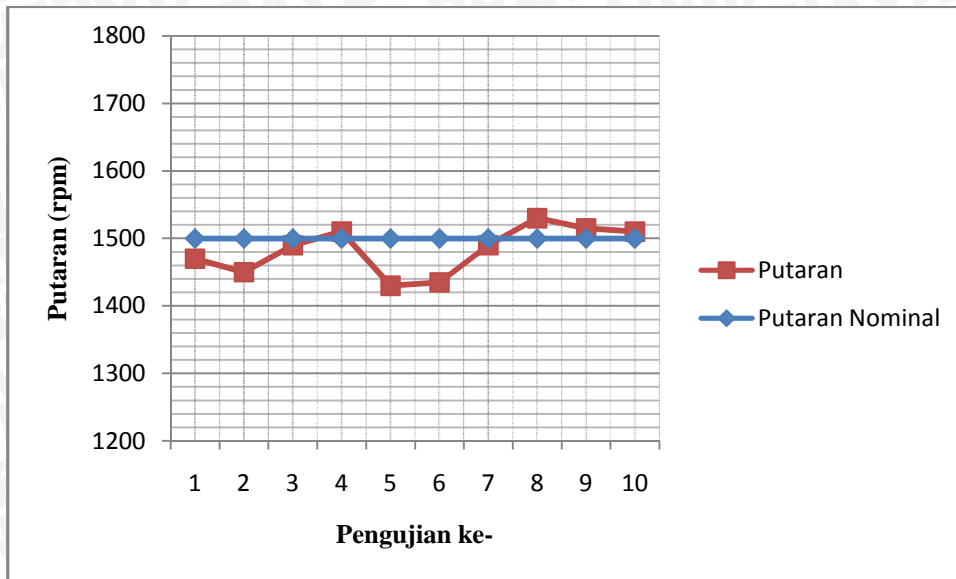


Gambar 5.11 Fluktuasi daya beban total dalam pengujian dengan ELC

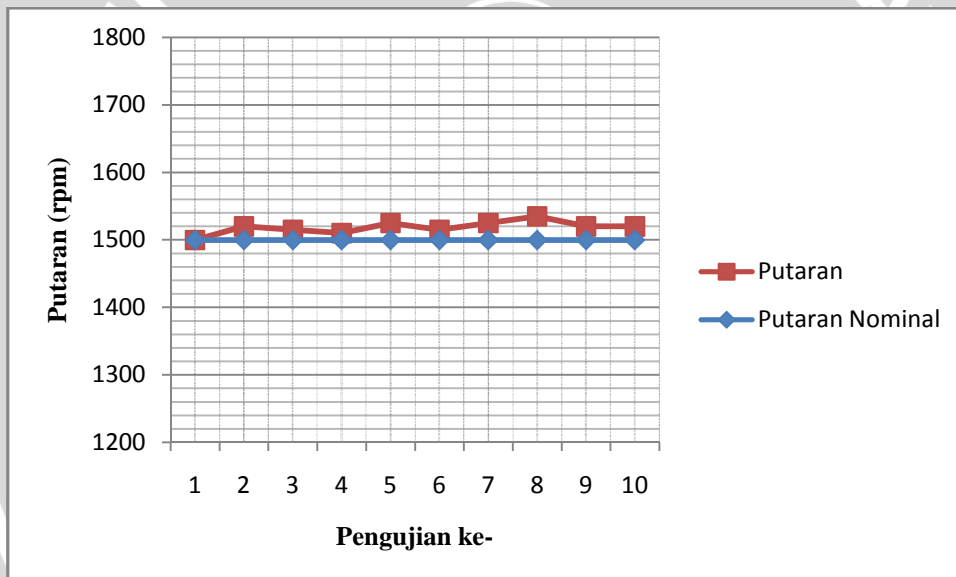
Perubahan frekuensi yang mengakibatkan perubahan daya beban utama ditunjukkan dalam Tabel 5.9. Perubahan daya beban ini memberikan akibat dalam sistem yang daya nominalnya tetap seperti ditunjukkan dalam gambar 5.10, fluktuasi daya beban masih berada dalam nilai yang lebih kecil dari daya nominal dengan rata – rata daya beban sebesar 575 watt. Daya beban saat menggunakan ELC juga mengalami fluktuasi, namun dalam rentang yang masih berada dalam kisaran daya nominal dengan daya rata – rata sebesar 901 watt. Tabulasi daya beban ditunjukkan dalam Tabel 5.10.

Tabel 5.10 Tabulasi daya beban

| Metode    | Kondisi daya beban | watt  | Selisih dari daya nominal (%) |
|-----------|--------------------|-------|-------------------------------|
| tanpa ELC | minimum            | 114.8 | -88,52                        |
|           | maksimum           | 950.4 | -4,96                         |
|           | rata - rata        | 575   | -42,5                         |
| ELC       | minimum            | 861   | -13,9                         |
|           | maksimum           | 968   | -3,2                          |
|           | rata - rata        | 901   | -9,9                          |



Gambar 5.12 Fluktuasi putaran generator sinkron tanpa ELC

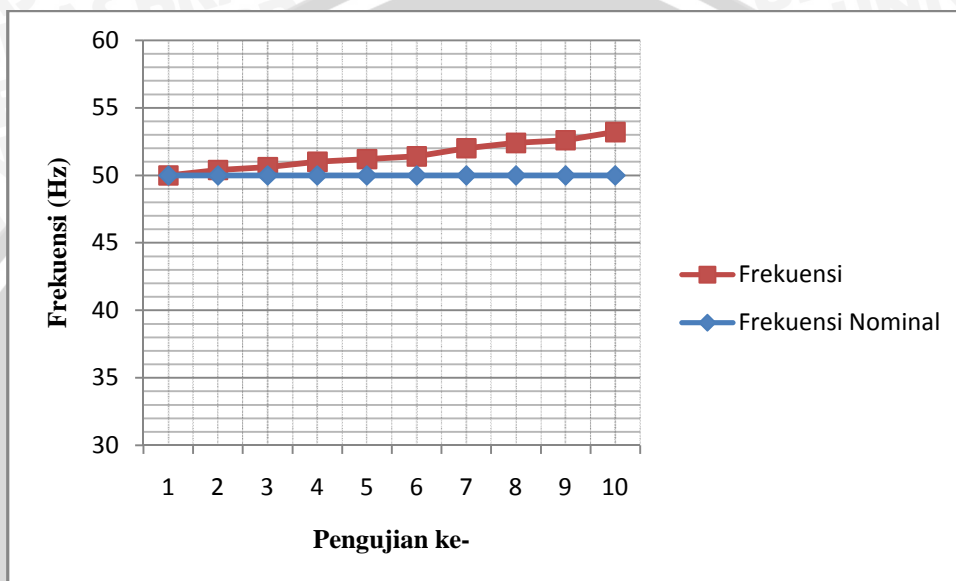


Gambar 5.13 Fluktuasi putaran generator sinkron dengan ELC

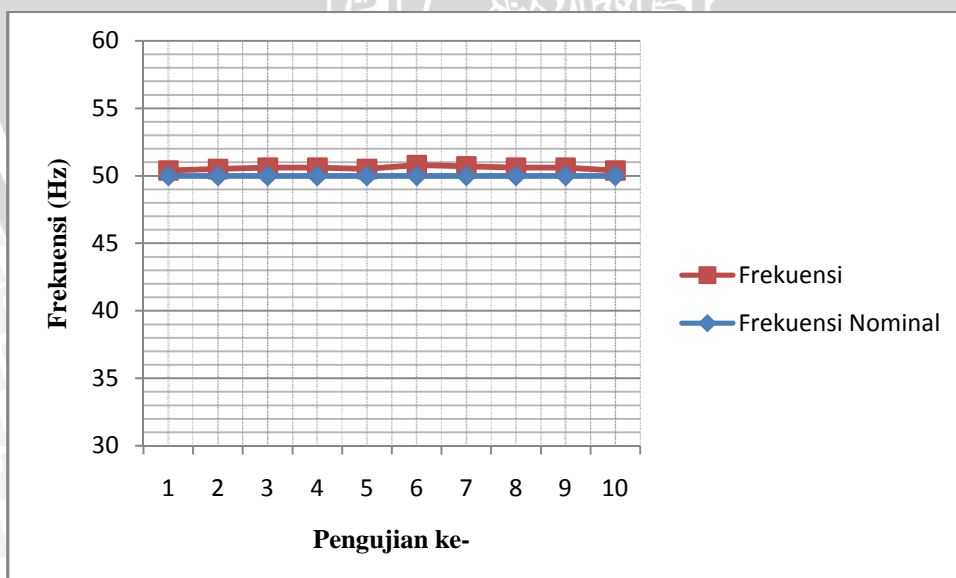
Respon putaran generator saat terjadi perubahan frekuensi dalam pengujian tanpa ELC menunjukkan nilai di atas putaran nominal generator. Fluktuasi putaran generator saat terjadi perubahan beban ditunjukkan dalam gambar 5.12 dengan nilai putaran rata – rata 1483 rpm. Pengujian dengan ELC menunjukkan nilai putaran rata – rata bernilai 1519 rpm dengan fluktuasi putaran menggunakan ELC ditunjukkan dalam gambar 5.13. Tabulasi respon putaran generator ditunjukkan dalam Tabel 5.11.

Tabel 5.11 Tabulasi respon putaran generator

| Metode    | Kondisi respon putaran generator | rpm  | Selisih dari putaran nominal (%) |
|-----------|----------------------------------|------|----------------------------------|
| tanpa ELC | minimum                          | 1430 | -7                               |
|           | maksimum                         | 1530 | +3                               |
|           | rata - rata                      | 1483 | -1,7                             |
| ELC       | minimum                          | 1500 | 0                                |
|           | maksimum                         | 1530 | +3                               |
|           | rata - rata                      | 1519 | +1,9                             |



Gambar 5.14 Fluktuasi frekuensi tanpa ELC



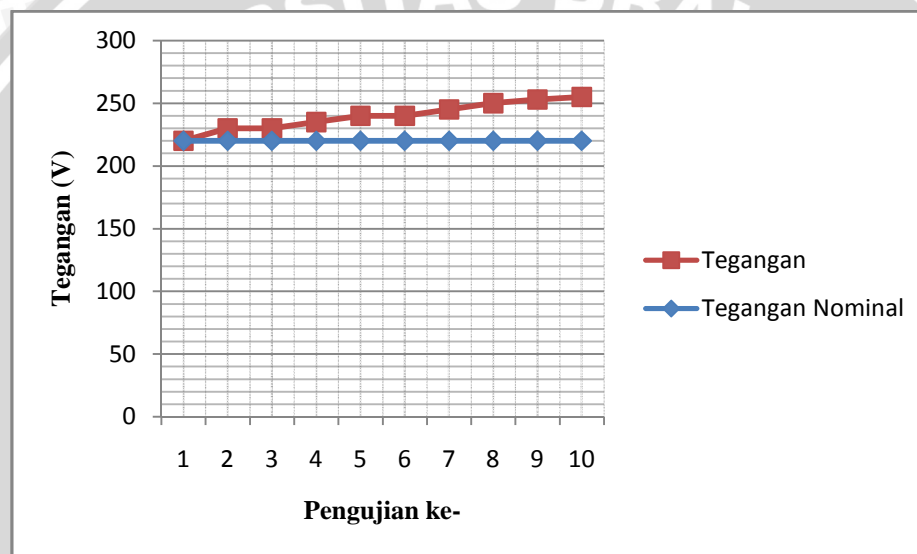
Gambar 5.15 Fluktuasi frekuensi dengan ELC

Respon frekuensi dalam pengujian dengan tegangan beban utama yang berubah – ubah tanpa ELC menunjukkan nilai frekuensi rata – rata sebesar 51,5 Hz dengan

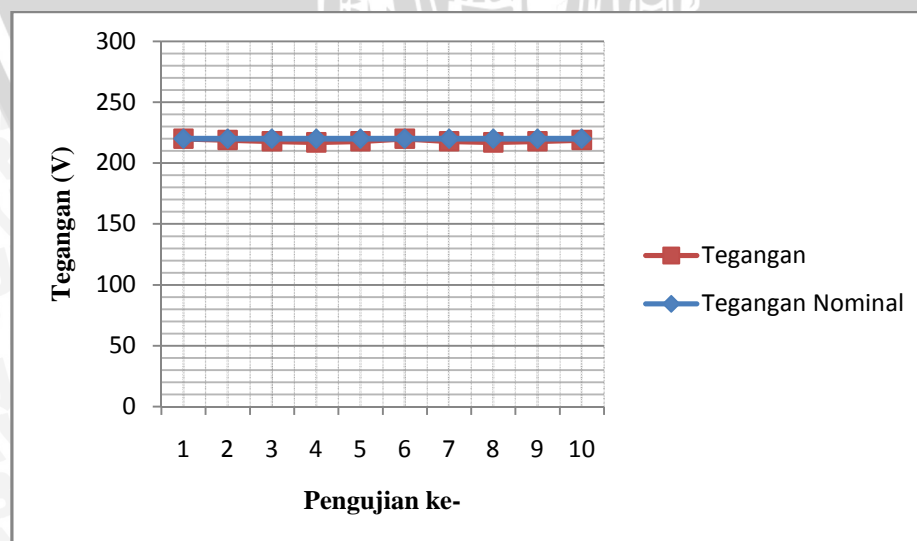
fluktuasi frekuensi ditunjukkan dalam gambar 5.14. Pengujian dengan ELC menunjukkan nilai frekuensi rata – rata sebesar 50,6 Hz dengan fluktuasi frekuensinya ditunjukkan dalam gambar 5.15. Tabulasi respon frekuensi ditunjukkan dalam Tabel 5.12.

Tabel 5.12 Tabulasi respon frekuensi

| Metode    | Kondisi respon frekuensi | Hz   | Selisih dari frekuensi nominal (%) |
|-----------|--------------------------|------|------------------------------------|
| tanpa ELC | minimum                  | 50   | 0                                  |
|           | maksimum                 | 53,2 | +3,2                               |
|           | rata - rata              | 51,5 | +1,5                               |
| ELC       | minimum                  | 50,4 | +0,4                               |
|           | maksimum                 | 50,6 | +0,6                               |
|           | rata - rata              | 50,6 | +0,6                               |



Gambar 5.16 Fluktuasi tegangan pengujian tanpa ELC



Gambar 5.17 Fluktuasi tegangan pengujian dengan ELC

Respon tegangan dalam pengujian tanpa ELC menunjukkan nilai tegangan rata – rata sebesar 240 V dengan fluktuasi tegangan ditunjukkan dalam gambar 5.16. Pengujian dengan ELC menunjukkan nilai tegangan rata – rata sebesar 218 V dengan fluktuasi tegangannya ditunjukkan dalam gambar 5.17. Tabulasi respon tegangan ditunjukkan dalam Tabel 5.13.

Tabel 5.13 Tabulasi respon tegangan

| Metode    | Kondisi respon tegangan | V   | Selisih dari tegangan nominal (%) |
|-----------|-------------------------|-----|-----------------------------------|
| tanpa ELC | minimum                 | 220 | 0                                 |
|           | maksimum                | 255 | +3,5                              |
|           | rata - rata             | 240 | +2                                |
| ELC       | minimum                 | 217 | -3                                |
|           | maksimum                | 220 | 0                                 |
|           | rata - rata             | 218 | -2                                |

Berdasarkan hasil pengujian dan analisis di atas, pengendalian beban menggunakan peralatan *Electronic Load Controller* mampu menjaga nilai daya beban dalam kisaran nilai daya nominal sehingga nilai putaran (n), frekuensi (f), dan tegangan (V) stabil dalam kisaran nilai yang masih dapat ditolerir. Selain itu, peralatan ELC ini juga mampu mengaktifkan beban komplemen resistif saat terjadi perubahan frekuensi beban akibat pengaruh perubahan tegangan, sehingga frekuensi tetap berada dalam kisaran nilai 50 Hz.